

## بررسی عددی تاثیر انسداد ورودی کالورت بر هیدرولیک جریان با استفاده از OpenFOAM

سمیه کریم‌پور<sup>۱</sup>، سعید‌گوهری<sup>۲</sup>، مهدی یاسی<sup>\*۳</sup>

تاریخ ارسال: ۱۳۹۸/۱۲/۲۰

تاریخ پذیرش: ۱۳۹۹/۰۶/۱۱

### مقاله پژوهشی

#### چکیده

کالورت یکی از سازه‌های اصلی جهت عبور جریان سطحی در راهها و خطوط ریلی است. جریان آب همراه با انتقال رسوبات و مواد زائد و شناور، سبب انسداد کالورتها و پس‌زدگی آب، و در نتیجه کاهش ظرفیت انتقال سیلان می‌گردد. هدف اصلی این پژوهش مدل‌سازی فیزیکی و شبیه‌سازی عددی اثرات درصدهای مختلف انسداد در ورودی کالورتها بر هیدرولیک جریان بوده است. اثرات انسداد کالورت در ۲۱ آزمون تجربی بررسی شد. برای تکمیل آزمون انسدادهای محتمل در کالورت، از مدل متن باز OpenFOAM استفاده شد. سه سناریو انسداد با مساحت ورودی ۲۰، ۴۰ و ۶۰ درصد شبیه‌سازی گردید. مدل ریاضی با داده‌های مدل فیزیکی واسنجی شد. در شبیه‌سازی جریان در انسدادهای مختلف دهانه کالورت، مدل تلاطم LES در OpenFOAM عملکرد بهتری نسبت به مدل‌های تلاطم گروه RAS نشان داد. نتایج شبیه‌سازی مشخصات جریان با کاربرد مدل تجاری-FLOW 3D مقایسه و تائید گردید. نتایج برای سه جریان مختلف (۴۰، ۶۰ و ۱۰۰ درصد از بده طراحی) نشان داد که در شرایط انسداد یکسان، نرخ افزایش تراز سطح آب بالا دست برای بدههای کمتر، بیشتر از بده طراحی است. انسداد باعث تغییر در شدت تلاطم و تنش برشی در خروجی کالورت می‌شود. برای بده طراحی با انسداد ۴۰ درصد، میزان تنش برشی تا ۱۰ برابر افزایش می‌یابد؛ که سبب آبشنستگی بیشتری در آبراهه پایین‌دست کالورت می‌گردد.

واژه‌های کلیدی: انسداد، کالورت، مدل تلاطم، FLOW-3D، OpenFOAM

<sup>۱</sup> دانشجوی دکتری سازه‌های آبی، گروه مهندسی آب، دانشکده کشاورزی، دانشگاه بوعلی سینا، همدان، ایران. ایمیل: s.karimpour94@basu.ac.ir

<sup>۲</sup> استادیار سازه‌های آبی، گروه مهندسی آب، دانشکده کشاورزی، دانشگاه بوعلی سینا، همدان، ایران. ایمیل: s.gohari@basu.ac.ir

<sup>۳</sup> دانشیار مهندسی رودخانه، گروه مهندسی آبیاری و آبادانی، دانشکده مهندسی و فناوری کشاورزی، دانشگاه تهران، کرج، ایران. ایمیل:

m.yasi@ut.ac.ir (نویسنده مسئول)



مطالعات تجربی در زمینه اثرات انسداد بر عملکرد سازه‌های آبگذر محدود است. Rigby and Barthelmess (2011) ۲۰۱۱ مطالعاتی در زمینه رابطه میزان انسداد کالورت‌ها و پل‌ها با میزان مواد معلق موجود، و همچنین تغییر رفتار جریان سیل در اثر انسداد مجرماً انجام دادند. نتایج نشانگر انسداد کالورت با درصدهای متفاوتی بود؛ بطوریکه با افزایش میزان انسداد تاثیر سیلاب در بالادست شدت بیشتری داشت. ازینرو برسی سناریوهای مختلف انسداد کالورت را در مطالعات سیلاب مهم و تاثیرگذار دانستند (Rigby and Barthelmess, 2011).

هو در سال ۲۰۱۰ مطالعات میدانی برای برسی میزان انسداد در کالورت‌های شهر Iowa آمریکا انجام داد. نتیجه این تحقیق نشان داد که ۲۵ درصد کالورت‌ها مشکل رسوبگذاری و ۲۶ درصد آنها با مشکل تجمع مواد زاید مواجه هستند، که در ۷۶ درصد موارد به علت سیمانی شدن مواد داخل مجرماً راه حلی برای رفع مشکل رسوب‌گذاری نبود، بیشتر حجم کالورت مسدود شده بود و باید مقطع کالورت بازسازی می‌شد (Ho, 2010).

در سال ۲۰۱۳، هو و همکاران بر اساس داده‌های میدانی Ho در سال ۲۰۱۰، برای حل مشکل رسوبگذاری در کالورت اقدام به طراحی خاصی برای کالورت کردند. این طراحی شرایط خود شویندگی ایجاد کرده و از رسوبگذاری در ورودی و داخل مجرماً حد امکان جلوگیری می‌کند. طراحی کالورت بر اساس ایجاد سرعت بحرانی حمل مواد رسوبی با تغییر در هندسه ورودی کالورت صورت گرفت و نتایج حاکی از عملکرد مطلوب در جلوگیری از ایجاد انسداد بوسیله رسوبات بود (Ho et al., 2013). سوریان و همکاران در سال ۲۰۱۵ آبشتستگی پایین دست کالورت را با درجه گرفتگی‌های متفاوت، در شرایط جریان پایدار و ناپایدار، مطالعه نموده، و اثر میزان گرفتگی دهانه کالورت را در شکل و حداکثر عمق آبشتستگی پایین دست تعیین-کننده دانستند. بطوریکه میزان شدت تلاطم جریان در کالورت با انسداد ۵۰ درصدی سه برابر بزرگتر از حالت بدون انسداد بود (Sorouian et al., 2015).

هدف اصلی پژوهش حاضر مدل‌سازی فیزیکی و شبیه‌سازی عددی اثرات درصدهای مختلف انسداد در ورودی کالورت‌ها

## مقدمه

تجربه سیلاب در سال‌های اخیر اهمیت وجود و عملکرد درست سازه‌های آبگذر را نمایان ساخته است. مطالعه اثرات انسداد در کالورت، به عنوان یکی از ساده‌ترین و پر تعدادترین سازه‌ها در سیستم‌های آبگذر در راهها و خطوط ریلی، راهنمای ساخت و نگهداری این سازه خواهدبود. انسداد باعث تغییرات در تراز سطح آب، جهت و سرعت جریان می‌شود، بنابراین می‌تواند باعث خسارات در این سازه و سازه‌های اطراف آن گردد.

اثرات انسداد ورودی بر هیدرولیک کالورت و آبراهه پایین دست در منابع محدودی مورد برسی قرار گرفته است. سازه کالورت برای عبور جریان در تراز مشخصی طراحی می‌شود؛ ولی انسداد، ظرفیت جریان عبوری را به میزان قابل توجهی کاهش می‌دهد که باعث افزایش سیل گیری در بالادست خواهد شد. کاهش ظرفیت عبوری کالورت در جریان‌های کم نیز موجب خسارت خواهدشد. در ترازهای پایین، جریان از مجرماً تخلیه نشده و تشکیل حوضچه در بالا دست سازه خواهد داد، که در درازمدت باعث مخاطرات محیط زیستی خواهد شد (Weeks et al., 2013).

به طور کلی انسداد در کالورت مسائل و مشکلات بسیاری مانند: ۱- بالا رفتن تراز سطح آب بالادست و افزایش مناطق سیل گیر؛ ۲- انحراف جریان سیلابی به سمت راههای ارتباطی؛ ۳- تخریب سازه و قطع شدن مسیر حمل و نقل؛ ۴- افزایش هزینه‌های نگهداری را به همراه خواهد داشت. در صورت انسداد کلی کالورت، روگذری جریان سبب تخریب راه یا ریل بالای کالورت و یا انحراف آب از مسیر آبراهه پایین دست شده، و احتمال خسارت‌های مالی و جانی را افزایش می‌دهد. بنابراین احتمال انسداد در سیلاب طرح، با توجه به نوع و میزان رسوبات و مواد جامد و شناور منطقه باید در طراحی سازه آبگذر مورد نظر قرار گیرد. مدیریت مشکل انسداد مستلزم ملاحظات ویژه‌ای در بسیاری زمینه‌ها از جمله در نظر گرفتن دلیل ایجاد انسداد، میزان تاثیر آن، و برسی روش‌های نگهداری و پیشگیری می‌باشد (Weeks et al., 2009).

را بر اساس داده‌های سرعت در اطراف پایه منفرد کالیبره و مقایسه کردند. داده‌های مدل‌سازی آزمایشگاهی با تکنیک عکسبرداری سریع بدست آمده بودند و نتایج شبیه‌سازی عددی تطابق خوبی با داده‌های مدل‌سازی فیزیکی نشان داد (Shim et al., 2016). شهید در سال ۲۰۱۶ نتایج پژوهش در زمینه مطالعه سه‌بعدی گردابه‌های جریان در پیچ رودخانه با استفاده از OpenFOAM را ارائه کرد. او برای مدل‌سازی از دو حلگر جریان چندفازی PisoFoam و InterFoam استفاده کرد. برای مدل‌سازی جریان متلاطم از مدل‌های تلاطم  $k-\omega$  استاندارد، LRR و RNG  $k-\epsilon$  استفاده کرد. بهترین نتایج برای شبیه‌سازی جریان سطح آزاد با استفاده از مدل RNG  $k-\epsilon$  گزارش شد (Shaheed, 2016). منصوری و همکاران (۱۳۹۸) نیز در مطالعه خصوصیات هیدرولیکی جریان در پرتابه جامی شکل با استفاده از مدل فلوئنت، نتایج حاصل از مدل تلاطم  $k-\epsilon$  را در مقایسه با سایر مدل‌های تلاطم بهتر ارزیابی کردند. بایون و همکاران در سال ۲۰۱۶ ساختار جریان در جهش هیدرولیکی در جریان با عدد رینولدز کم را با استفاده از دو مدل OpenFOAM و FLOW-3D به صورت عددی مورد مطالعه قرار دادند. هر دو مدل با داده‌های آزمایشگاهی واسنجی و حساسیت سنجی شدند. مدل تلاطم RNG  $k-\epsilon$  در هردو مدل استفاده شد. آنها هر دو مدل را در شبیه‌سازی ساختار جریان گردابه‌ای و سه‌بعدی در طول جهش کارآمد توصیف کردند. میزان اتلاف انرژی در طول جهش هیدرولیکی حاصل از هردو مدل در مقایسه با نتایج مدل تجربی قبل قبول بود (Bayon et al., 2016). در سال ۲۰۱۹ Gunal et al. با استفاده از مدل FLOW-3D تاثیر انسداد در آبشنستگی پایین‌دست آبگذر مستطیلی در شرایط جریان نا ماندگار با استفاده از داده‌های تجربی Sorouian et al. (2016) را مورد بررسی کردند. نتایج مدل‌سازی آنان در شبیه‌سازی آبشنستگی با داده‌های تجربی همخوانی خوبی نشان داد.

در تحقیق حاضر، براساس نتایج مطالعات مدل فیزیکی بررسی "اثرات انسداد دهانه کالورت"، کاربرد مدل ریاضی متن باز (OpenFOAM) در شبیه سازی اثرات انسداد دهانه کالورت بر آب گرفتگی بالادست مورد ارزیابی قرار

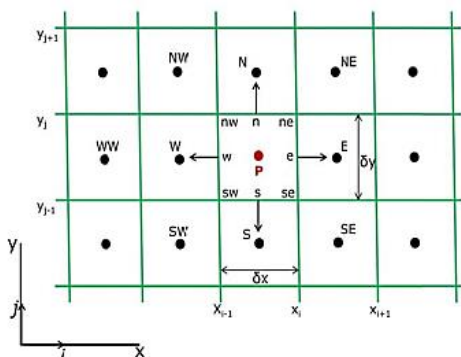
بر هیدرولیک جریان بوده است. برای تکمیل آزمون‌های تجربی، از مدل شبیه‌ساز متن‌باز OpenFOAM استفاده شد. میزان انسداد در دامنه داده‌های مطالعات میدانی Rigby and Barthelmess (که بیشترین انسدادهای مشاهده شده در کالورت ۴۰ الی ۹۶ درصد دهانه بوده است)، تعیین شد.

مدل دینامیک سیالات محاسباتی متن‌باز OpenFOAM توسط شماری از محققین برای مدل‌سازی جریان آب در آبراهه‌ها و اطراف سازه‌ها همچنین برای مدل‌سازی جریان آب و رسوب توسعه یافته و کارایی آن در حد مطلوبی گزارش شده است. از جمله بایون و لوپز در سال ۲۰۱۵ جهش هیدرولیکی را با این بسته مورد مطالعه قرار دادند. از سه مدل تلاطم:  $1-k-\omega$  استاندارد،  $2-k-\omega$  SST و  $3-k-\epsilon$  RNG برای شبیه‌سازی تلاطم جریان در طول جهش هیدرولیکی استفاده کردند و توانایی مدل را در شبیه‌سازی مشخصات جریان از جمله طول جهش و اعمق مزدوج با استفاده از داده‌های آزمایشگاهی مورد سنجش قرار دادند. آنها بهینه‌سازی زمان و قدرت سیستم پردازش، با استفاده از شرایط اولیه و مرزی مناسب را مهمنترین ویژگی استفاده از این مدل متن‌باز عنوان کردند. عبدالهی و همکاران در سال ۲۰۱۶ از OpenFOAM برای مطالعه جریان بر روی سرریز زیگزاگی استفاده کردند. مدل تلاطم  $k-\epsilon$  استاندارد برای محاسبات تلاطم به کار گرفته شد. مقایسه نتایج مدل‌سازی عددی در تعیین محل قرارگیری سرریز جانبی با بدء حداکثر انطباق خوبی با نتایج مدل‌سازی آزمایشگاهی نشان داد (Abdollahi et al., 2017). مدل‌سازی آبشنستگی در اطراف پایه پل منفرد دایره‌ای شکل، توسط بایکال و همکاران در سال ۲۰۱۵ در شرایط آب صاف و با انتقال رسوب، با استفاده از OpenFOAM ۱.6Ex مورد بررسی قرار گرفت. آنها برای شبیه‌سازی جریان متلاطم از مدل  $k-\omega$  استفاده کردند. میزان آبشنستگی پایه پل در جریان آب همراه با انتقال رسوب در حدود نصف شرایط جریان آب زلال گزارش کردند (Baykal et al., 2015). در این زمینه شیم و همکاران نیز در سال ۲۰۱۶ آبشنستگی در اطراف پایه پل منفرد را با استفاده از مدل توسعه یافته بر اساس OpenFOAM مدل‌سازی کردند. نتایج مدل‌سازی عددی

که پایستگی جرم برقرار باشد. برای توضیح بهتر این روش، معادله کلی پایستگی برای یک کمیت اسکالر مانند  $\Phi$  به صورت زیر خواهد بود:

$$\int_s \vec{J}_\Phi \cdot \vec{n} dS = \int_s \rho \phi (\vec{U} \cdot \vec{n}) dS - \int_s \Gamma_\Phi (\nabla \Phi \cdot \vec{n}) dS + \int_s q_\Phi d\Omega \quad (1)$$

این معادله باید در هر سلول محاسباتی و همچنین تمام دامنه حل صادق باشد. برای دستیابی به معادله جبری باید معادله درجه چهار برای تقریب سه انتگرال به کار بردشود. شکل (۱) صورت کلی حجم کنترل دو بعدی چهار وجهی به کار رفته برای حل این معادله را نشان می‌دهد. جهت تعیین سطح آزاد جریان از مدل VOF<sup>۱</sup> استفاده شده است. در این روش از یکتابع متغیر بنام  $\alpha$  استفاده می‌شود که جزء حجم آب در سلول محاسباتی است. اگر  $\alpha$  برابر ۱ باشد نشان دهنده پر بودن سلول از آب می‌باشد و اگر  $\alpha$  صفر باشد یعنی سلول پر از هوا است. برای  $0 < \alpha < 1$  درصدی از سلول آب و درصدی از آن هوا است. بنابراین با در نظر گرفتن سطح آزاد در یک جزء حجمی معین می‌توان سطح آزاد جریان را مشخص کرد



شکل (۱): نمایی از دامنه حل معادلات پایستگی به روش حجم محدود (Shaheed, 2016)

. با حل معادله پیوستگی برای جزء حجمی آب  $\alpha$ ، جزء حجمی در کل میدان حل تعیین می‌گردد:

$$\frac{\partial \alpha}{\partial t} + \nabla \cdot (\alpha \vec{U}) = 0 \quad (2)$$

به نحوی که  $\vec{U}$  بردار سرعت متشکل از اجزای سرعت  $u_x, u_y$  و  $u_z$  به ترتیب در جهت  $x, y$  و  $z$  است. معادله چگالی برای مخلوط آب و هوا به صورت معادله (۳) خواهد بود:

گرفت، تا سناریوهای بیشتری از انسداد با مدل ریاضی بررسی گردد. این مقاله به مراحل استفاده از مدل متن باز OpenFOAM برای شبیه‌سازی اثرات انسداد ورودی کالورت بر هیدرولیک جریان، واسنجی و تائید این مدل با داده‌های مدل فیزیکی، و مقایسه نتایج آن با نتایج نظیر از مدل شبیه‌ساز تجاری FLOW-3D می‌پردازد.

## مواد و روش‌ها

Open Source Field Operation and Manipulation نوشته شده-<sup>۱</sup> است که به زبان برنامه‌نویسی C++ نوشته شده- است، و شامل حل‌گرهای زیادی برای حل مسائل دینامیک سیالات محاسباتی است. از نمونه موارد قابل مدل‌سازی توسط این نرم‌افزار می‌توان به جریان‌های آرام و متلاطم، تک‌فاز و چند‌فاز در جریان سیالات اشاره نمود. قدرت اصلی OpenFOAM ناشی از استفاده هوشمندانه از توانایی‌های زبان برنامه‌نویسی C++ در ایجاد ساختار منظمی از کلاس‌ها، کتابخانه‌ها و به طور کلی اشیا است؛ که امکان گسترش و اختصاصی سازی این کدها، برای حل هر مساله‌ی خاصی را فراهم می‌کند. امکان دسترسی به کدهای منبع و گسترش آن، سبب شده است تا جامعه کاربری این نرم افزار به ویژه در بین جامعه‌ی دانشگاهی گسترش یابد و نسخه‌های جدیدتر آن با سرعت بیشتری ارائه گردد. این مزیت از دلایل اصلی انتخاب این مدل برای انجام شبیه‌سازی در این پژوهه می‌باشد. از سوی دیگر منابع اندک در رابطه با استفاده از این مدل برای شبیه‌سازی جریان در سازه‌های هیدرولیکی، دلیل دیگری برای انتخاب این مدل متن باز شد.

مدلسازی عددی شامل حل معادلات ناویر استوکس است که بر پایه قوانین بقای جرم و مومنتم برای هر سیال در حال حرکت استوار می‌باشد. حل معادلات ناویر استوک در مدل OpenFOAM با استفاده از روش حجم محدود صورت می‌گیرد. اساس روش حجم محدود بر حل انتگرالی معادلات پایستگی استوار است. حل معادلات در یک سلول محاسباتی یا در یک حجم محدود انجام می‌گیرد به صورتی

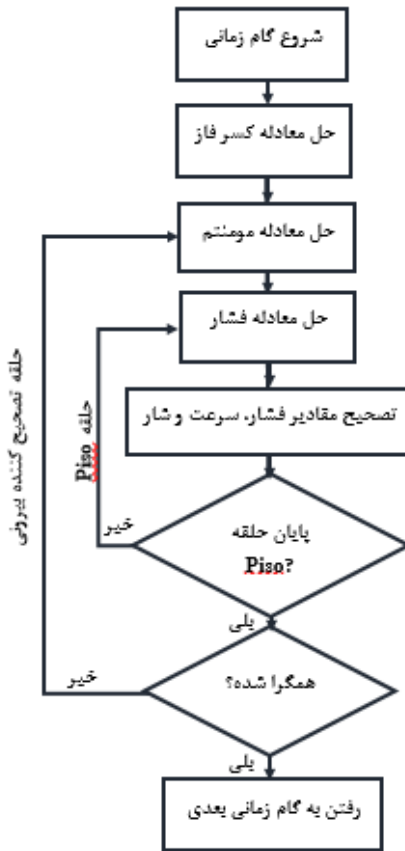
<sup>۱</sup> Volume of Fluid

برای مدل سازی در تحقیق حاضر از حلگر InterFoam برای شبیه سازی جریان به صورت دوفازی استفاده شد. برای کوپل کردن پارامترهای فشار و سرعت در معادله مومنتوم برای کاهش خطای ناشی از نوسان فشار از حلقه PISO استفاده شد. در گسترش سازی برای مشتقات زمانی از روش اویلر، گرادیان از روش ضمنی مرتبه چهارم و دیورژانس و لاپلاسین از روش های مختلف گاوس استفاده شد. مقادیر میانیابی ها بوسیله روش خطی محاسبه شدند. روند کلی حل معادلات در هر گام در شکل (۲) ارائه شده است.

هندسه میدان حل: برای ایجاد هندسه کالورت و کانال های بالادست و پایین دست از نرم افزار Salome استفاده شد. انسداد در ورودی کالورت با استفاده از کد الحقیقی TopoSetDict به عنوان مانع از میدان حل حذف شدند و برای مزهای آن شرایط دیوار تعريف شد. شکل میدان حل و نمونه ساختار شبکه بندی آن در شکل (۳) نشان داده شده است. برای تعريف انسداد در برابر جریان، شبکه بندی در داخل مثرا به نحوی تعريف شد که حداقل طول انسداد در برابر جریان سه سلول محاسباتی را در بر گیرد.

$$\rho = \alpha \rho_w + (1 + \alpha) \rho_a \quad (3)$$

که  $\rho_w$  و  $\rho_a$  به ترتیب چگالی آب و هوا می باشند. جعبه ابزار در OpenFOAM، عملگرهای صریح و ضمنی مبتنی بر گسترش سازی مرتبه دوم و مرتبه چهارم (FV) در فضاهای سه بعدی و بر روی منحنی سطح ارائه می کند، که می تواند مهم ترین ویژگی برای کمک به برنامه نویسان CFD در نظر گرفته شود. به منظور تعیین پارامتر تنیش های رینولدز از مدل های تلاطم مختلف در جعبه ابزار OpenFOAM استفاده می شود که شامل: شبیه سازی گردابه های تنیش های میانگین رینولدز (RAS)، شبیه سازی گردابه های بزرگ (LES) و شبیه سازی در حالت جریان آرام (Laminar) می باشد. هر یک از گروه های ذکر شده، شامل چند نوع مدل تلاطم است که به تناسب مسئله می توان از آنها استفاده کرد. برای مثال در گروه مدل تلاطم RAS برای جریان تراکم ناپذیر ۱۸ مدل تلاطم مختلف وجود دارد که از مهم ترین آنها می توان به SST، k-ωSST و k-ε اشاره کرد. همچنین گروه LES برای جریان تراکم ناپذیر شامل ۱۰ مدل تلاطم است که از میان آنها می توان Smagorinsky Deardorff DiffStress Spalart Allmaras DDE را نام برد.



شکل (۲): روند نمای حل معادلات با حلقه Piso

در رابطه (۶) ثابت مدل تلاطم است که برابر  $0,09$  در نظر گرفته شد. از سوی دیگر  $\epsilon$  بر اساس نسبت ویسکوزیته گردابهای  $\mu/l$  از رابطه (۷) قابل محاسبه است:

$$\epsilon = c_\mu \rho K^2 / \mu (\mu_t / \mu)^{-1} \quad (7)$$

در رابطه (۷)  $\rho$  چگالی آب می‌باشد. پارامتر دیگر نرخ ویژه پخشیدگی تلاطم  $\omega$  می‌باشد که در مدل  $k-\omega$  تعیین می-

شود. این ضریب از فرمول (۸) قبل استخراج است:

$$\omega = \rho K / \mu (\mu_t / \mu)^{-1} = c_\mu^{-1/4} \sqrt{K} / l \quad (8)$$

میزان شدت تلاطم جریان  $I = \bar{U}/U$ ، که در آن  $\bar{U}$  ریشه خطای نوسان سرعت تلاطم است و بصورت ذیل محاسبه می‌شود:

$$\bar{U} = \sqrt{2/3K} = \sqrt{1/3(\bar{U}_x^2 + \bar{U}_y^2 + \bar{U}_z^2)} \quad (9)$$

ریشه خطای نوسان سرعت تلاطم در جهت  $x$ ،  $y$  و  $z$  ریشه خطای نوسان سرعت تلاطم در جهت  $y$  و  $z$  ریشه خطای نوسان سرعت تلاطم در جهت  $z$  است. مقدار شدت تلاطم

مدل تلاطم: برای محاسبه شدت و انرژی تلاطم از مدل-های  $k-\omega$  و  $k-\epsilon$  از گروه RAS و مدل  $k-\omegaqn$  از گروه LES استفاده شد. محاسبات مقادیر اولیه ضرایب تلاطم برای مدل‌های مورد نظر انجام شد. ویسکوزیته تلاطم  $\sim 0.001$  از رابطه (۴) قابل محاسبه می‌باشد.

$$\tilde{v} = \sqrt{3/2} (UI) \quad (4)$$

در این رابطه  $U$  سرعت متوسط جریان،  $I$  شدت تلاطم و  $l$  مقیاس طولی تلاطم می‌باشد. مقدار  $\tilde{v}$  بصورت ایده‌آل برابر صفر است. در جریان تحت فشار حداقل برابر نصف ویسکوزیته سینماتیکی جریان آب و در جریان آزاد پنج برابر ویسکوزیته سینماتیکی آب است (Rodi, 1993) و مقدار انرژی تلاطم  $K$  برابر است با:

$$K = 3/2 (UI)^2 \quad (5)$$

و نرخ پخشیدگی تلاطم  $\epsilon$  برابر با:

$$\epsilon = c_\mu K^{3/2} / l \quad (6)$$

در این مدل سازی مورد استفاده قرار گرفت. شرایط مرزی مسئله با توجه به داده‌های تجربی بصورت شکل (۲) تعیین شد. ورودی مدل با بدنه جریان و خروجی کanal با عمق ثابت جریان در نظر گرفته شد. کف و دیوارهای کanal و کالورت و انسداد به صورت شرط مرزی دیوار تعریف شد.

### مدل فیزیکی

آزمون تجربی در آزمایشگاه سازه‌های آبی گروه مهندسی آب دانشگاه بولوی سینا در فلومی به طول ۱۰ متر، عرض ۰/۵ متر و ارتفاع ۰/۵ متر، و شیب ثابت ۱/۰۰ با بدنه فلزی و دیوارهای شیشه‌ای انجام شد. برای شبیه‌سازی جریان کالورت، عرض فلوم در بالادست مقطع قرار گیری کالورت به ۱ متر افزایش داده شد، و بددهای متفاوت از طریق تنظیم دور موتوور توسط اینورتر<sup>۱</sup> صورت گرفت.

مدل کالورت به دو صورت تک مجرایی و دو مجرایی طراحی شد. مساحت مقطع در کanal دو مجرایی با کanal تک مجرایی برابر بود. برای مشاهده جریان داخل مجرای کالورت، مدل از جنس شیشه به صورت مستطیل ۳×۰/۲ متر مربع در کالورت تک مجرایی و دو مستطیل ۰/۱۵×۰/۲ متر مربع در مدل دو مجرایی ساخته شد. در هر دو مدل طول مجرای ۰/۹ متر، تبدیلهای ورودی و خروجی ۳۰ درجه و شیب مجرای برابر ۰/۰۵ بود (شکل ۴).

هیدرولیکی آزمون‌های مختلف تجربی در جدول (۱) نشان داده شده است.

### واسنجی و تائید مدل

از نتایج آزمون‌های تجربی جدول (۱)، تعداد ۵ آزمایش برای واسنجی و ۴ آزمایش دیگر برای صحبت‌سنجی و تائید عملکرد مدل مورد استفاده قرار گرفت. واسنجی مدل با استفاده از: ۱- تنظیم اندازه سلول‌های محاسباتی و ۲- تغییر مدل تلاطم انجام شد. مهم‌ترین بخش هر مدل سازی، کیفیت هندسه و شبکه‌بندی مدل شبیه‌سازی شده می‌باشد. کیفیت شبکه در OpenFOAM با دستور CheckMesh بررسی شد. مقادیر پارامترهای مورد نظر و مقادیر معیار آنها برای شبکه‌بندی مناسب از جمله شرط

با توجه به نوع هندسه مجارا و میزان تلاطم مشاهده شده به صورت تجربی تعیین می‌شود. این مقادیر طبق توصیه رودی برای هندسه‌های پیچیده و شدت تلاطم بالا برابر ۵ الی ۲۰ درصد، تلاطم متوسط در هندسه‌های نه چندان پیچیده و سرعت‌های پایین ۱ تا ۵ درصد و شدت تلاطم کم برابر کمتر از ۱ درصد می‌باشد.

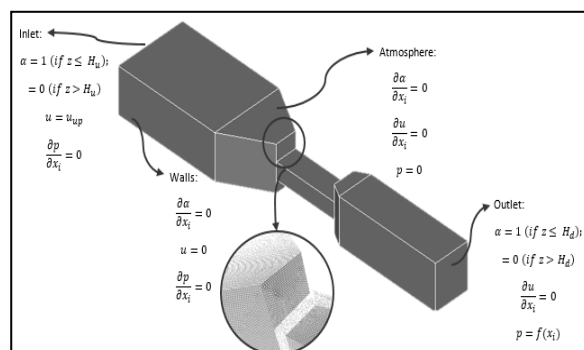
برای محاسبه شدت تلاطم در جریان‌های متلاطم کاملاً توسعه یافته رابطه‌ای تجربی برای لوله‌ای بزرگ بصورت رابطه (۱۰) ارائه شده است:

$$(10) \quad I = 0.16 Re_{dh}^{-1/8}$$

در رابطه (۱۰) عدد رینولدز بر اساس قطر هیدرولیکی جریان است. شرایط اولیه ضرایب تلاطم بر اساس سرعت متوسط جریان و فرض میزان تلاطم متوسط در جریان با استفاده از رابطه ارائه شده برای مقیاس طولی تلاطم به صورت رابطه (۱۱) محاسبه و در فایل خصوصیات تلاطم مورد استفاده قرار گرفت.

$$(11) \quad l = 0.038 dh$$

**شرایط اولیه و مرزی:** برای تعریف شرایط اولیه جریان از کدهای الحاقی FunkySetFields استفاده شد. مقادیر معلوم دبی و عمق جریان به عنوان فاکتورهای کنترل کننده



شکل (۳): هندسه میدان حل و شرایط مرزی به کار برده شده.

آزمایش‌ها با بکارگیری ۴ انسداد صلب متفاوت انجام شدند. تمامی انسدادهای مورد استفاده عرض برابر با مقطع ورودی کالورت داشته، ولی ارتفاع آنها متغیر بود. مشخصات



طول آبراهه در بالادست و پایین دست کالورت جهت مدلسازی برابر با  $10D$  ( قطر معادل کالورت) در نظر گرفته شد.

برای بررسی همگرایی حل در OpenFOAM از سه معیار باقیمانده

و -۵- شبیه کالورت مورد آزمون قرار گرفت. مدل تلاطم RNG، شبکه بهینه تو در تو با اندازه  $1/10$  و  $5/5$  سانتی متر (برای بلوک خارجی و داخلی)، و زمان شبیه سازی  $80$  ثانیه انتخاب شد. نتایج مدل شبیه ساز FLOW-3D با نتایج نظیر از مدل فیزیکی واسنجی و تائید گردید؛ بطوریکه متوسط خطای برآورد برای سرعت متوسط، عمق آب و بدء جریان به ترتیب  $3$ ،  $1$  و  $3$  درصد برآورد گردید.

## نتایج و بحث کاربرد مدل

پس از واسنجی و تائید دو مدل OpenFOAM و -FLOW-3D، جریان در کالورت در شرایط انسدادهای یکسان بوسیله دو مدل شبیه سازی شد. شکل (۶) نمونه ای از مقایسه پروفیل سطح آب شبیه سازی شده توسط دو مدل در شرایط مختلف انسداد را برای بدء طراحی کالورت نشان می دهد. با توجه به نتایج شبیه سازی روند تغییرات سطح آب در هر دو مدل به میزان قابل قبول مدل سازی شده اند. نتایج مدل سازی OpenFOAM با مدل تلاطم LES بیشترین میزان همخوانی با نتایج تجربی را نشان می دهد.

عدم تعامد<sup>۱</sup> کمتر از  $70$ ، نسبت منظری<sup>۲</sup> کمتر از  $50$ ، چولگی<sup>۳</sup> کمتر از  $2$  و همواری<sup>۴</sup> کمتر از  $1/3$  است. با توجه به مشخصات شبکه بندی، هندسه تولید شده برای انجام شبیه سازی در حد مطلوبی ارزیابی شد.

طول آبراهه و کالورت در شبیه سازی با توجه به توصیه های بارنارد و همکاران (۲۰۱۵) شبیه سازی گردید. براین اساس، اهای مولفه های سرعت و فشار، عدم تغییر حل با تکرار بیشتر و خطای محاسبات معادله پیوستگی استفاده می شود. مقادیر خطای معیار برای حل معادله پیوستگی و مومنتم به ترتیب برابر  $4 \times 10^{-6}$  و  $1 \times 10^{-8}$  می باشد و حداکثر مقادیر آنها در مدل سازی به ترتیب برابر  $4 \times 10^{-9}$  و  $9 \times 10^{-8}$  بود. شکل (۵) مقادیر این خطاهای را در مدل سازی نشان می دهد.

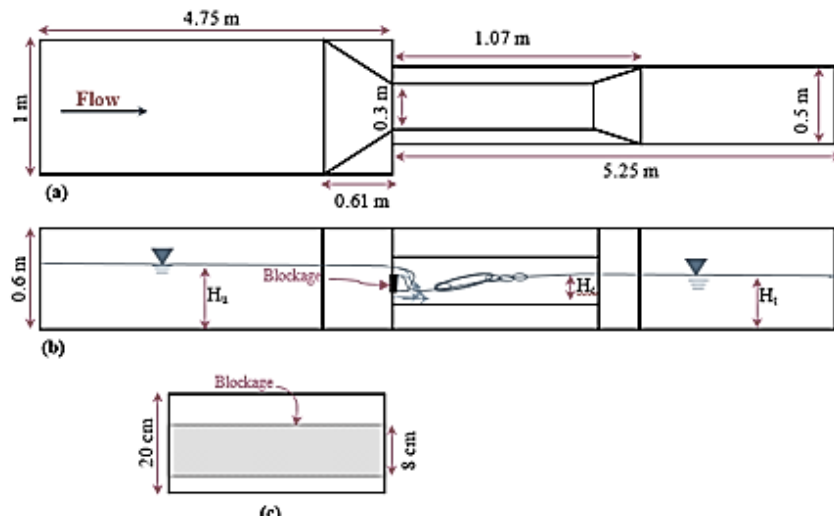
برای بررسی عملکرد مدل متن باز OpenFOAM از مدل FLOW-3D به عنوان مدل تجاری با نتایج قابل قبول در زمینه دینامیک سیالات محاسباتی استفاده شد. برای مدل سازی FLOW-3D از نسخه  $11.3$  نصب شده روی سرور تحت ویندوز  $10$  موسسه تحقیقات آب دانشگاه تهران با  $34$  پردازنده استفاده شد. برای تهیه هندسه مرزهای جامد جریان، از نرم افزار Solidworks استفاده شده است. برای شبیه سازی سطوح و احجام صلب مثل مرزهای هندسی آبراهه و کالورت و برای شبکه بندی محاسباتی جریان از روش FAVOR استفاده گردید. برای شرط مرزی ورودی، بدء ثابت؛ برای شرط مرزی خروجی، فشار ثابت؛ برای سطح ازاد آب، شرط فشار ثابت و دیوارهای، شرط دیوار در نظر گرفته شد. پایداری و حساسیت مدل به پنج عامل:  $1$ - اندازه شبکه محاسبات،  $2$ - گام زمانی،  $3$ - مدل تلاطمی  $4$ - زیری

<sup>4</sup> Smoothing  
<sup>1</sup> Residuals

<sup>1</sup> Non-Orthogonality

<sup>2</sup> Aspect Ratio

<sup>3</sup> Skewness



شکل(۴): نمای مدلسازی تجربی. (a) پلان فلوم و کالورت (b) پروفیل طولی جریان و (c) مقطع ورودی کالورت با انسداد ۴۰ درصد.

جدول(۱): مشخصات هیدرولیکی آزمون‌ها

آزمون	درصد انسداد (درصد)	تراز سطح آب پایین دست (سانتی‌متر)	تراز سطح آب مجرای کالورت (سانتی‌متر)	تراز سطح آب بالا دست (سانتی‌متر)	بده (لیتر بر ثانیه)
R1Q1B0	.	۲۳	۸/۹	۲۵/۴	۱۰/۵
R1Q1B20	۲۰	۲۲/۹	۴/۷	۲۸/۵	۱۰/۵
R1Q1B40	۴۰	۲۳	۶/۵	۳۱/۶	۱۰/۵
R1Q1B80	۸۰	۲۳	۷	۴۰/۵	۱۰/۵
R1Q2B0	.	۲۵	۱۰	۲۸/۴	۱۶/۵
R1Q2B20	۲۰	۲۴/۸	۶/۵	۳۱/۴	۱۶/۵
R1Q2B40	۴۰	۲۴	۵/۵	۳۴/۳	۱۶/۵
R1Q2B60	۸۰	۲۵	۵	۳۸/۵	۱۶/۵
R1Q3B0	.	۳۲	۱۶/۲	۳۴/۵	۲۷/۵
R1Q3B20	۲۰	۳۱	۱۵	۳۶/۵	۲۷/۵
R1Q3B40	۴۰	۳۱	۱۴/۵	۳۸/۸	۲۷/۵
R1Q3B60	۶۰	-	-	۴۵<	۲۷/۵

مقادیر شبیه‌سازی تجربی با مساحت کامل پلی‌گون در نظر گرفته شده است. هر کدام از رئوس پلی‌گون یکی از مشخصات هیدرولیکی شبیه‌سازی شده است. هرچه مقادیر مشخصات هیدرولیکی به مقدار تجربی نزدیک‌تر باشد، مساحت پلی‌گون حاصل از شبیه‌سازی‌ها نیز به مساحت پلی‌گون داده‌های تجربی نزدیک‌تر است. با توجه به پلی‌گون‌های ساخته شده مساحت حاصل به صورت زیر قابل مقایسه هستند:

بیشترین خطا در مقادیر شبیه‌سازی شده توسط هر دو مدل در داخل مجرای کالورت مشاهده می‌شود. مدل OpenFOAM با مدل تلاطم k-w کمترین دقیقت در میزان سطح آب و روند تغییرات آن نشان می‌دهد و مدل FLOW-3D خوبی مدل‌سازی نشان می‌دهد. برای مقایسه بهتر نتایج مدل‌سازی خصوصیات هیدرولیکی جریان میانگین نتایج شبیه‌سازی‌ها از شکل (۷) استفاده شد.



توصیف کرد (Bayon et al., 2016). مهمترین نکته در این مطالعه توانایی مدل در شبیه‌سازی تاثیر انسداد بر جریان بالادست و افزایش تراز سطح آب است.

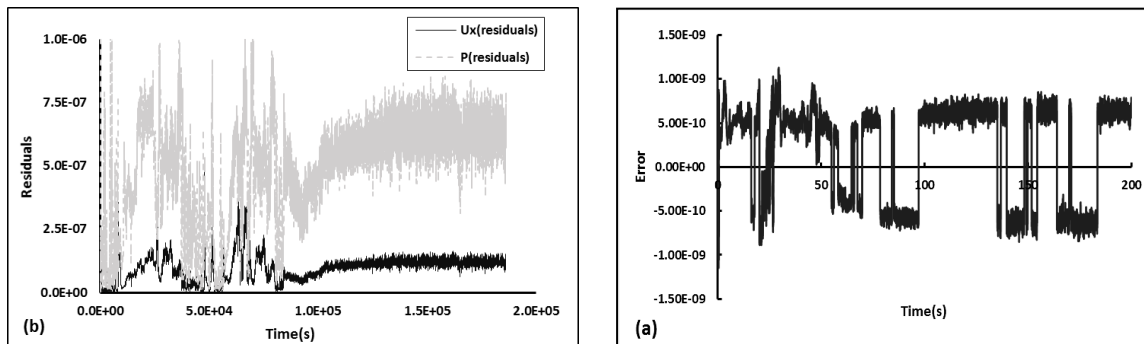
اما معیار دیگر مدت زمان انجام شبیه‌سازی توسط مدل توسعه یافته می‌باشد. با توجه به نتایج، مدت زمان انجام شبیه‌سازی برای مدل‌ها بصورت زیر قابل مقایسه است:

$$\begin{aligned} T_{of(LES)} &> T_{of(k-e)} > T_{FLOW-3D} \\ &> T_{of(k-w)} \end{aligned} \quad (13)$$

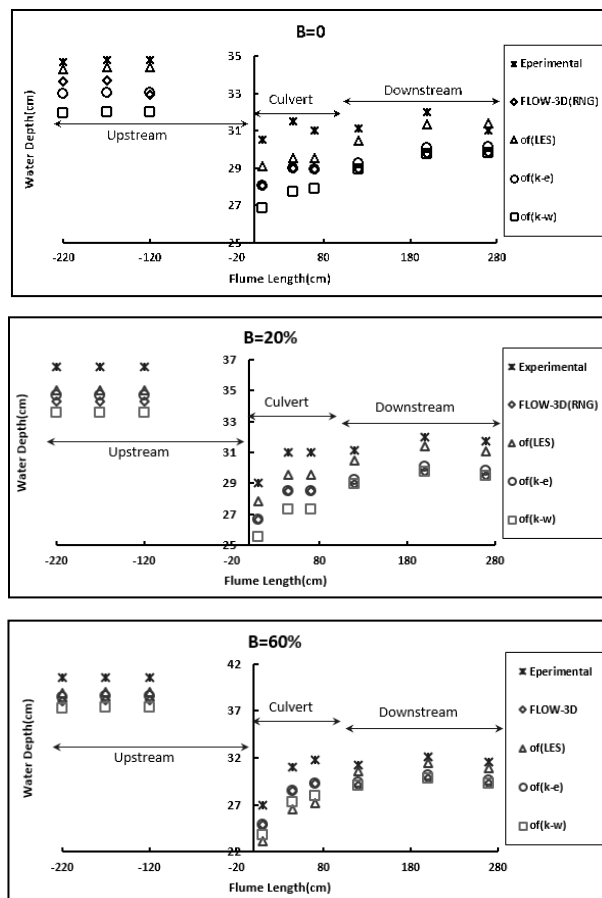
مدت زمان شبیه‌سازی با OpenFOAM و مدل تلاطم LES مدت زمان شبیه‌سازی با OpenFOAM و مدل تلاطم k-e، MDEM و مدل تلاطم FLOW-3D مدت زمان شبیه‌سازی با مدل FLOW-3D و مدل تلاطم k-w می‌باشد.

$$\begin{aligned} S_{exp} &> S_{of(LES)} > S_{(FLOW-3D)} \\ &\cong S_{of(k-e)} > S_{of(k-w)} \end{aligned} \quad (12)$$

$S_{exp}$  مساحت چندضلعی حاصل از مقادیر تجربی،  $S_{of(LES)}$  مساحت چندضلعی حاصل از مقادیر پارامترهای شبیه‌سازی شده با LES و مدل تلاطم OpenFOAM چندضلعی حاصل از مقادیر پارامترهای شبیه‌سازی شده با مدل FLOW-3D،  $S_{of(k-e)}$  مساحت چندضلعی حاصل از مقادیر پارامترهای شبیه‌سازی شده با OpenFOAM و مدل تلاطم k-e و  $S_{of(k-w)}$  مساحت چندضلعی حاصل از مقادیر پارامترهای شبیه‌سازی شده با OpenFOAM و مدل تلاطم k-w می‌باشد. که به ترتیب نشان‌دهنده کاهش تطابق نتایج مدل‌سازی با داده‌های آزمایشگاهی است. بیشترین خطای داده‌های مربوط به عمق آب در داخل کالورت و در نزدیکی انسداد دیده می‌شود. وجود انسداد در محل ورودی کالورت تلاطم در این ناحیه را چند برابر کرده و به دلیل محدودیت‌های ذانی مدل‌سازی عددی می‌توان نتایج را قابل قبول



شکل (۵): میزان خطای حل معادله پیوستگی (a) و باقیمانده محاسبات سرعت و فشار (b).

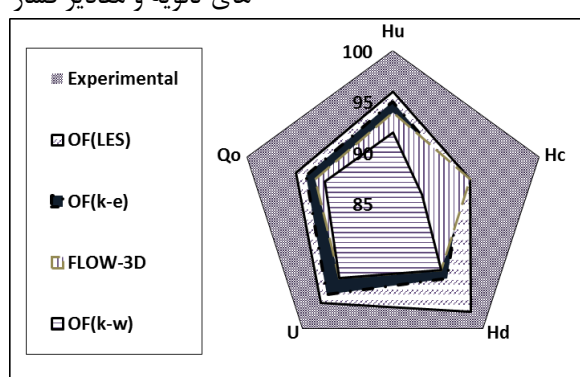


شکل(۶): نتایج مدل‌سازی سطح آب با دومدل FLOW-3D و OpenFOAM در شرایط دبی طراحی کالورت و درصد انسدادهای مختلف.

کالورت استفاده شده است. وجود انسداد باعث کاهش مساحت مقطع ورودی شده و سرعت ورودی جریان افزایش خواهد یافت. این تغییر در مقدار سرعت ورودی باعث تغییر در سایر خصوصیات جریان از جمله میزان تلاطم و جریان-های ثانویه و مقادیر فشار خواهد شد.

#### تأثیر انسداد در جریان بالادست کالورت

برای بررسی اثر انسداد در ورودی کالورت، از نتایج مربوط به بدنه طراحی (۵/۲۷ لیتر بر ثانیه) در حالت های بدون انسداد، وجود انسداد ۲۰ درصد و ۶۰ درصد در ورودی



شکل(۷): مقایسه نتایج شبیه‌سازی مشخصات هیدرولیکی با نتایج آزمایشگاهی

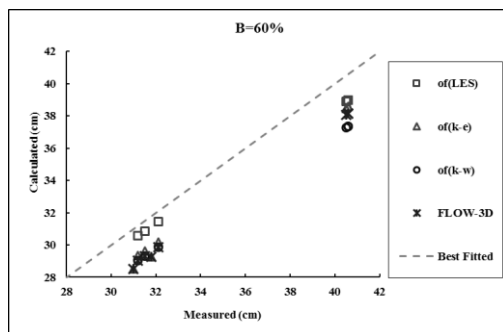
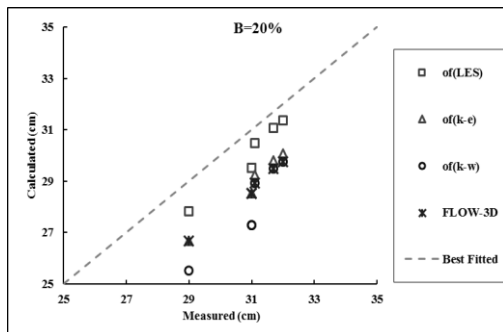


جدول (۲) مقایسه میزان خطا در برآورد مشخصات هیدرولیکی تحقیق حاضر و مطالعات پیشین را نشان می-دهد. مقادیر خطا شبیه‌سازی در محدوده قابل قبولی قرار دارد. میزان افزایش سطح آب بالادرست برای سه دبی مورد آزمایش در شکل (۹) نشان دهنده افزایش خطی تراز سطح آب بالادرست ( $\Delta Hu$ ) با شبیه برابر  $0/8$  در برابر کاهش سطح مقطع ورودی (1-B) است و تقریباً برای بددهای کمتر از بده طراحی کالورت این مقدار ثابت است. اما برای مقدار بده طراحی که در مورد مدل کالورت آزمایشگاهی مورد مطالعه برابر  $27/5$  لیتر بر ثانیه بود، شبیه افزایش سطح آب بالادرست کاهش می‌یابد.

رابطه خطی افزایش سطح آب بالادرست در برابر کاهش سطح ورودی جریان برای کالورت مستطیلی مورد مطالعه با نسبت عرض به ارتفاع (W/D) برابر  $1,5$  به صورت ذیل است:

مقایسه مقادیر تجربی اندازه‌گیری شده تراز سطح آب بالادرست و مقادیر حاصل از مدلسازی با دو مدل FLOW-3D و OpenFOAM در شکل (۸) نشان می‌دهد که میزان برگشت آب با تخمین خوبی شبیه‌سازی شده است. توجه به مقادیر افزایش یافته سطح تراز آب بالادرست به خوبی بیانگر تاثیر انسداد در افزایش ناگهانی سطح تراز آب است. مقدار تراز سطح آب در حالت بدون انسداد در بده  $16/5$  لیتر بر ثانیه در حالت بدون انسداد برابر  $28/4$  سانتی-متر است که با حضور انسداد  $20\%$ ،  $40\%$  و  $60\%$  در ورودی این مقدار به ترتیب برابر  $34/2$ ،  $36/5$  و  $38/5$  می-رسد. مقادیر مدلسازی شده توسط هر دو مدل تطابق خوبی با داده‌های تجربی نشان می‌دهد اما با مدل OpenFOAM با مدل تلاطم LES خطا کمتری در شبیه‌سازی میزان برگشت آب در اثر وجود انسداد دارد. دلیل عدمه این نتایج ماهیت مدل تلاطم LES و توانایی این مدل در شبیه‌سازی بهتر گردابهای بزرگ و ورود هوا به داخل جریان نسبت به مدل تلاطم‌های گروه RANS است (Som et al., 2012).

بیشترین مقدار خطا نسبی در دو مدل OpenFOAM و FLOW-3D در انسداد  $20\%$  دیده می‌شود، که هر دو مدل میزان برگشت آب را  $11\%$  کمتر از میزان تجربی برآورد کرده‌اند. در انسدادهای بیشتر ( $40\%$  و  $60\%$ ) OpenFOAM عملکرد بهتری نشان داده و مقادیر مدل-سازی همخوانی بهتری با داده‌های تجربی نشان می‌دهد. دلیل نتایج بهتر در انسدادهای بیشتر، در برگرفتن تعداد بیشتری از سلول‌ها توسط انسداد بزرگتر است که مدل بهتر تاثیر مرزها را در جریان مدلسازی می‌کند (Bayon et al., 2016).



شکل (۸): تغییرات سطح آب بالادست شبیه‌سازی شده و اندازه‌گیری شده.

مساحت انسداد به مساحت ورودی کالورت است. رابطه (۱۴)

$$\Delta H_u = -0.82(1-B) + 75.663 \quad (14)$$

برای بدنهای کمتر از بده طراحی کالورت و رابطه (۱۵)

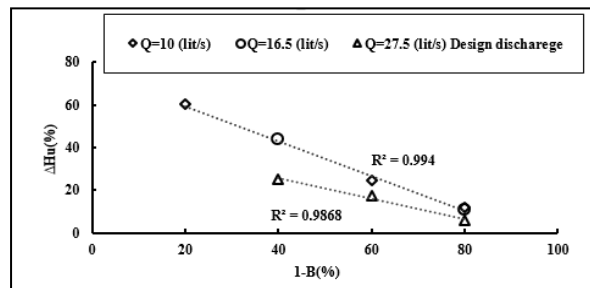
$$\Delta H_u = -0.48(1-B) + 45.089 \quad (15)$$

برای بده طراحی کالورت بدست آمد.

$\Delta H_u$  درصد افزایش سطح آب بالادست به ازای کاهش سطح مقطع ورودی به میزان  $100 \times (1-B)$  است که  $B$  نسبت

جدول (۲): مقایسه مقادیر خطای برآورد مشخصات هیدرولیکی تحقیق حاضر با مطالعات پیشین.

دبي	عمق آب	سرعت متوسط	مطالعات انجام شده	
			متوجه خطای شبیه‌سازی (%)	
2.9	0.8	3.1		Gulan et al. (2019)
2.4	1.1	1.9		Bayon et al. (2016) (OpenFOAM)
1.6	0.85	1.8		Bayon et al. (2016) (FLOW-3D)
1.8	0.95	2.2		مقاله حاضر (Flow-3D)
2.07	0.89	2.1		مقاله حاضر (of (LES))
3.8	1.08	3.67		مقاله حاضر (of (k-e))
3.27	1.6	3.13		مقاله حاضر (of (k-w))



شکل (۹): افزایش سطح آب بالادست با کاهش مقطع ورودی کالورت.

همکاران (۲۰۱۵) در مطالعات تاثیر انسداد ورودی بر گودال آبشستگی پایین دست است. با وجود انسداد در ورودی کالورت تنفس برشی جریان به مراتب بیشتر شده و فرسایندگی آن نیز افزایش خواهد یافت.

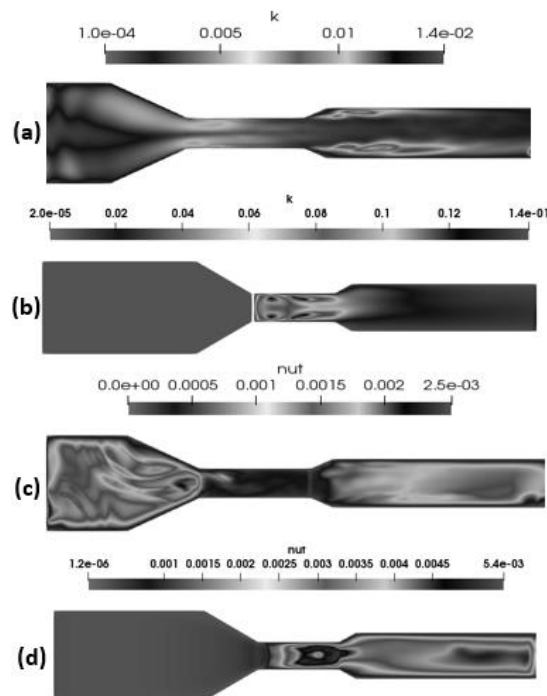
### نتیجه‌گیری

مهم‌ترین شاخص کارآئی کالورت انتقال رواناب سطحی در تقاطع آبراهه با راه یا ریل، با کمترین میزان برگشت آب در بالادست است. به دلیل طبیعت رواناب که همواره حاوی انواع رسوبات و مواد زائد است، ایجاد انسداد در این سازه آبگذر یکی از بزرگترین مشکلات به شمار می‌آید. هدف این پژوهش مطالعه عددی تاثیر انسداد در ورودی کالورت با استفاده از مدل متن باز OpenFOAM و بررسی توانایی این مدل در شبیه‌سازی جریان در کالورت در انسدادهای مختلف است.

### تاثیر انسداد در مجرأ و پایین دست کالورت

تاثیر وجود انسداد در ورودی از نتایج مربوط به بده طراحی کالورت (۲۷/۵ لیتر بر ثانیه) در حالت بدون انسداد، وجود انسداد ۲۰ درصد و ۶۰ درصد در ورودی کالورت استفاده شده است. انسداد باعث کاهش مساحت مقطع ورودی شده و سرعت ورودی جریان افزایش خواهد یافت. این تغییر در مقدار سرعت ورودی باعث تغییر در سایر خصوصیات جریان از جمله میزان تلاطم و جریان‌های ثانویه و مقادیر فشار خواهد شد.

شکل (۱۰) تغییرات مقدار انرژی تلاطمی و لزجت تلاطم را در  $B=0$  و  $B=60\%$  نشان می‌دهد. میزان انرژی تلاطمی جریان در انسداد ۶۰٪، ۱۰ برابر مقدار حالت جریان بدون انسداد است. و مقدار لزجت تلاطمی در حضور انسداد ۶۰٪ به میزان ۲ برابر افزایش یافته است. افزایش در مقدار و تغییر الگوی تلاطم تائید کننده نتایج تجربی سروربان و



شکل (۱۰): خصوصیات تلاطمی جریان برای بدء ۲۷/۵ لیتر در ثانیه (a) میزان انرژی تلاطمی  $B=0$ ، (b) میزان انرژی تلاطمی  $B=60\%$ ، (c) میزان دانسیته تلاطمی  $B=0$ ، و (d) میزان دانسیته تلاطمی  $B=60\%$ .

شبکه بندی بهینه برای مدل‌سازی کالورت با استفاده از میدان ساختاریافته با اندازه  $1/10$  متر انتخاب گردید.

نتایج نشان می‌دهد که مدل توسعه یافته OpenFOAM در این تحقیق، هیدرولیک جریان و اثرات انسداد ورودی کالورت را با دقیق قابل قبولی شبیه‌سازی می‌کند، و با توجه به رایگان و در دسترس بودن آن، گزینه مناسبی می‌باشد. نتایج حاصل از کاربرد این مدل بشرح زیر خلاصه می‌گردد.

- انسداد در ورودی، میزان برگشت آب در بالادست کالورت را افزایش می‌دهد. درصد افزایش برای بدء طراحی  $27/5$  لیتر بر ثانیه) و انسدادهای  $20$ ،  $40$  و  $43$  درصد به ترتیب برابر  $4/89$ ،  $11/39$  و  $13/22$  درصد بیش از حالت ورودی بدون انسداد و برای بدء برابر  $0/4$  بدء طراحی در شرایط انسداد  $20$ ،  $40$  و  $80$  درصد به ترتیب برابر  $12/2$ ،  $24/4$  و  $59/4$  و برای  $0/6$  بدء طراحی و انسدادهای برابر  $20$ ،  $40$  و  $60$  درصد مساحت ورودی برابر  $10/56$ ،  $10/77$  و  $20/77$  و  $35/56$  درصد سطح آب بالادست در شرایط جریان بدون حضور انسداد بود.

- افزایش برگشت آب در مقادیر بدء کمتر از بدء طراحی، بیشتر است. در شرایط انسداد  $20$  و  $40$  درصد،

نتایج حاصل از شرایط بهینه مدل‌سازی هیدرولیکی با استفاده از بسته OpenFOAM بشرح زیر می‌باشد:

ایجاد مانع در میدان محاسباتی با استفاده از ابزار TopoSet نتایج و زمان شبیه‌سازی را بهبود بخشید.

شبکه محاسباتی در اطراف مانع حداقل باید بیش از  $3$  سلول محاسباتی در راستای جریان را برای شبیه‌سازی مانع در بر بگیرد.

تعریف مقادیر اولیه و شرایط مرزی با استفاده از ابزارهای GroovyBC و FunkeySetFields بهبود نتایج کمک کرد.

مقادیر اولیه پارامترهای تلاطم با استفاده از روابط مربوطه محاسبه و جایگذاری شد. کد مدل تلاطم  $k-\epsilon$  برای RNG InterFoam بازنویسی شد، که نتایج بهتری نسبت به مدل  $k-\omega$  نشان داد. نتایج مدل تلاطم  $k-\epsilon$  نتایج خوبی می‌دهد، ولی زمان بیشتری در شبیه‌سازی لازم دارد.

گام زمانی اولیه برابر  $1/100$  ثانیه انتخاب شد، ولی با تنظیم مدل بهترین گام زمانی برای همگرایی برابر  $1/1000$  ثانیه گردید.



انسداد است. این عامل نقش زیادی در میزان آبشنستگی آبراهه پایین دست کالورت خواهد داشت.

میزان افزایش مقدار تنش برشی نیز تحت تاثیر میزان بده و درصد انسداد متغیر بود. برای بده طراحی مقدار تنش برشی برای انسداد، ۲۰، ۴۰ و ۴۳ درصد به ترتیب برابر  $1/2$ ،  $1/7$  و  $1/17$  برابر حالت بدون انسداد، برای  $0/4$  بده طراحی و انسداد، ۲۰، ۴۰، ۶۰ و ۸۰ درصد به ترتیب برابر  $1/2$ ،  $1/45$ ،  $1/25$  و  $2/8$  برابر و برای  $0/6$  بده طراحی برابر  $1/3$ ،  $1/7$  و  $2/10$  برابر افزایش یافت.

میزان برگشت آب  $4/0$  بده طراحی به ترتیب برابر  $2/5$  و  $2$  برابر بده طراحی، و برای  $6/0$  بده طراحی این نسبت برابر  $2$  و  $1/85$  بود.

■ وجود انسداد در ورودی کالورت، شرایط جریان پایین دست را تحت تاثیر قرار می‌دهد. از جمله تنش برشی و میزان انرژی تلاطمی جریان در شرایط بده طراحی با وجود انسداد  $43$  درصد تا  $10$  برابر افزایش می‌یابد. برای  $4/0$  بده طراحی و انسداد،  $20$ ،  $40$  و  $80$  درصد، مقدار افزایش به ترتیب برابر  $11/2$ ،  $6/7$  و  $9/5$ ؛ و برای  $0/6$  بده طراحی این مقدار به ترتیب برابر  $5/6$ ،  $5/9$  و  $8/9$  برابر حالت بدون

## منابع

- زاپری، م. ر و قمشی، م. ۱۳۹۶. بررسی عددی تأثیر صفحه متخلخل در کنترل جریان غلیظ. نشریه علمی پژوهشی مهندسی آبیاری و آب ایران، ۸(۱)، ۲۹-۱۸.
- منصوری، ر. معاف، ف. بهشتی راد، م. و کاربخش، ع. ۱۳۹۸. بررسی خصوصیات هیدرولیکی در پرتابه جامی شکل با استفاده از مدل عددی. نشریه علمی پژوهشی مهندسی آبیاری و آب ایران، ۱۰(۲)، ۷۹-۱۲.

Abdollahi, A., Kabiri-Samani, A., Asghari, K., Atoof, H. and Bagheri, S. 2017. Numerical modeling of flow field around the labyrinth side-weirs in the presence of guide vanes. ISH Journal of Hydraulic Engineering 23(1): 71-79.

Barnard, R. J., Yokers, S., Nagygyor, A., and Quinn, T. 2015. An evaluation of the stream simulation culvert design method in Washington State. River Research and Applications, 31(10), 1376-1387.

Baykal, C., Sumer, B. M., Fuhrman, D. R., Jacobsen, N. G., and Fredsøe, J. 2015. Numerical investigation of flow and scour around a vertical circular cylinder. Philosophical Transactions of the Royal Society A: Mathematical, Physical and Engineering Sciences, 373(2033), 20140104.

Bayon, A., Arnau, R., and Lopez-Jimenez, A. P. 2015 Numerical analysis of hydraulic jumps using OpenFOAM. Journal of Hydroinformatics 17 (4): 662-678.

Bayon, A., Valero, D., García-Bartual, R., and López-Jiménez, P. A. 2016. Performance assessment of OpenFOAM and FLOW-3D in the numerical modeling of a low Reynolds number hydraulic jump. Environmental modelling & software, 80, 322-335.

Ho, H. C. 2010. Investigation of unsteady and non-uniform flow and sediment transport characteristics at culvert sites.

Ho, H.C., Muste, M., and Ettema, R. 2013. Sediment self-cleaning multi-box culverts. Journal of Hydraulic Res. IAHR, 51(1), 92-101.

Holzinger, G. 2015. OpenFOAM a little user-manual. CD-Laboratory-Particulate Flow Modelling Johannes Kepler University, Linz, Austria.

Lubin, P., Chanson, H., and Glockner, S. 2010. Large eddy simulation of turbulence generated by a weak breaking tidal bore. Environmental Fluid Mechanics, 10(5), 587-602.

Rigby, E.H., and Barthelmess, A.J. 2011. Culvert blockage mechanisms and their impact on flood behavior-are all blockages created equal? In Proceedings of the 34th World Congress of the International Association for Hydro-Environment Research and Engineering, Brisbane, Australia, 380–387.

Rodi, W. 1993. Turbulence models and their application in hydraulics. CRC Press.

Shaheed, R. 2016. 3D Numerical Modelling of Secondary Current in Shallow River Bends and Confluences (Doctoral dissertation, University of Ottawa).

Shim, Jaeho, Jennifer Duan, and Hongki Jo. 2016. Simulating Sediment Transport around a Bridge Pier using OpenFOAM Software. World Environmental and Water Resources Congress 2016.

Som, S., Senecal, P. K., and Pomraning, E. 2012. Comparison of RANS and LES turbulence models against constant volume diesel experiments. In ILASS Americas, 24th annual conference on liquid atomization and spray systems, San Antonio, TX.

Sorourian, S., Keshavarzi, A.R., Ball, J. 2015. Scour at partially blocked box-culverts under steady flow. Proc. Inst. Civ. Eng. Water Manage. 15(19), 1-13.

Weeks, W., Barthelmess, A., Rigby, E. and Witheridge, G. 2009, Australian Rainfall and Runoff. Revision Project11: Blockage of Hydraulic Structures. Engineers Australia.

Weeks, W., Witheridge, G., Rigby, E., and Barthelmess, A. 2013. Project 11: blockage of hydraulic structures.

## Numerical Investigation of Culvert Inlet Blockage Effects on Flow Hydraulics using OpenFOAM

Somayeh Karimpour<sup>1</sup>, Saeid Gohari<sup>2</sup>, Mehdi Yasi<sup>3\*</sup>

Culvert is one of the main structures in drainage systems at crossing with railways and roads. Flood flows, along with the transport of sediments and floating debris, can cause blockages and backwater, thereby reducing flood flow capacity. The main purpose of this study was to physically model and numerically simulate the effects of different percentages of blockages on culvert hydraulic characteristics. Blockage effects investigated in 21 laboratory experiments. Complementary tests were carried out with the use of OpenFOAM numerical tool box. Three blockage scenarios have been numerically simulated with 20, 40 and 60 percent coverage of inlet area. The numerical model was calibrated using the experimental data. The simulation results of OpenFOAM in different culvert inlet blockages indicated that the LES turbulent model is more adaptive than RAS models. The main flow characteristics were compared with the corresponding simulation results from the trademark FLOW-3D model, and showed good agreement for verification purpose. Results for different flows (i.e. 40, 60 and 100 percent of the design discharge) showed that the increasing rate of upstream water level is not identical, and is higher for the lower discharges. Blockage also intensifies turbulence and shear stress levels in the outlet section. For design discharge, the 40 percent blockage resulted in the increase of shear stresses up to 10 times, which cause severe scour in downstream channel.

**Keywords:** Blockage, Culvert, Turbulence model, OpenFOAM, FLOW-3D.

<sup>1</sup> Ph.D. Student of Hydraulic Structures, Department of Water Engineering, Faculty of Agriculture, University of Bu Ali Sina, Hamadan, Iran. Email: s.karimpour94@basu.ac.ir

<sup>2</sup> Assistant Professor of Hydraulic Structures, Department of Water Engineering, Faculty of Agriculture, University of Bu Ali Sina, Hamadan, Iran. Email: s.gohari@basu.ac.ir

<sup>3</sup> Associate Professor of River Engineering, Department of Irrigation and Reclamation Engineering, Faculty of Agricultural Engineering & Technology, University of Tehran, Karaj, Iran. Email: m.yasi@ut.ac.ir

**Research Paper****Numerical Investigation of Culvert Inlet Blockage Effects on Flow Hydraulics using OpenFOAM**Somayeh. Karimpour<sup>1</sup>,Saied. Gohari<sup>2</sup>,Mehdi. Yasi<sup>3\*</sup>

<sup>1</sup> Ph.D. Student of Hydraulic Structures, Department of Water Engineering, Faculty of Agriculture, University of Bu Ali Sina, Hamadan, Iran.

<sup>2</sup> Assistant Professor of Hydraulic Structures, Department of Water Engineering, Faculty of Agriculture, University of Bu Ali Sina, Hamadan, Iran.

<sup>3</sup> Associate Professor of River Engineering, Department of Irrigation and Reclamation Engineering, Faculty of Agricultural Engineering & Technology, University of Tehran, Karaj, Iran.



10.22125/IWE.2020.223002.1320

Received:  
**March.10.2020**

Accepted:  
**September.10.2020**  
Available online:  
**March.13.2022**

**Keywords:**  
**Blockage, Culvert,**  
**Turbulence model,**  
**OpenFOAM, FLOW-**  
**3D.**

**Abstract**

The main purpose of this study was to physically model and numerically simulate the effects of different percentages of blockages on culvert hydraulic characteristics. Blockage effects investigated in 21 laboratory experiments. Complementary tests were carried out with the use of OpenFOAM numerical tool box. Three blockage scenarios have been numerically simulated with 20, 40 and 60 percent coverage of inlet area. The simulation results of OpenFOAM in different culvert inlet blockages indicated that the LES turbulent model is more adaptive than RAS models. The main flow characteristics were compared with the corresponding simulation results from the trademark FLOW-3D model, and showed good agreement for verification purpose. Results for different flows (i.e. 40, 60 and 100 percent of the design discharge) showed that the increasing rate of upstream water level is not identical, and is higher for the lower discharges. Blockage also intensifies turbulence and shear stress levels in the outlet section.

**1. Introduction**

Culverts are common structures for runoff drainage system in the design and construction of roads and railways, in both urban and rural areas. Due to the nature of runoff flow, large amount of sediments, foliage, and urban waste and debris materials may accumulate in the entrance of culverts, particularly in flood events.

Blockage in the culvert's entrance can result in a significant increase in flood risk, through elevated flood levels and diverted flow paths through the urban or rural areas (Rigby et al., 2002). The study of

\* Corresponding Author: M. Yasi

Address: Associate Professor of River  
Engineering, Department of Irrigation and  
Reclamation Engineering, University of Tehran,  
Karaj Campus, Iran.

Email: m.yasi@ut.ac.ir  
Tel: 02632241119

culvert's blockage would be useful in the prediction and prevention of flood hazard in the vicinity of drainage systems. Current study deals with this problem in box culverts. Blockage effects on the upstream water level were investigated using both experimental and numerical modeling. A free open source toolbox (openFoam) was chosen for numerical modelling and results were compared to the results of well-known commercial model, Flow-3D.

## 2. Materials and Methods

Experimental tests were conducted in Hydraulic Laboratory of Water Engineering Department in Bu Ali Sina University, Hamedan, Iran. The box culvert models made of glass and smooth water pipes used as circular culvert models. The experimental setup includes a glass wall flume with 10m length, 0.5m width and 0.6m deep. Rectangular plates in different sizes were used in order to make sudden blockage into the culverts.

The openFoam 5.0 adapted to the experimental data sets. The stability and sensitivity of this model have been tested according to: mesh cell size, simulation time step and turbulent model.

The model was then calibrated and verified using the experimental data sets, and was used to simulate different flow conditions into the culverts, under different entrance-blockage scenarios. Also the Flow-3D model was used for comparing results.

## 3. Results

The results of OpenFOAM modeling with LES turbulence model show the best agreement with experimental results. The main reason of these results is the nature of the LES turbulence model and the ability of this model in large vortices simulation compared to the RANS group turbulence model. OpenFOAM model with k-w turbulence model shows the lowest accuracy for water level calculation. Effect of the inlet blockage on upstream water level was tested for three flow rates (the design discharge of 27.5 lit/s, and two lower discharges of 10.5 lit/s and 16.5 lit/s), in four different sizes of inlet blockage (B). Simulation results showed a good agreement in upstream backwater level in all cases. In the case of flow with 16.5 lit/s, upstream water level raised from 28.5 cm in non-blocked inlet to 31.4, 34.2 and 38.5 cm in presence of 20%, 40% and 60% blocked inlet area, respectively.

## 4. Discussion and Conclusion

Comparison of the results of the developed openFOAM model with results of the Flow-3D software showed that this model simulates the flow and effects of culvert inlet obstruction with acceptable accuracy, and is a good option due to its free availability.

The results show a linear increase in the upstream water level by decreasing the percentage of culvert inlet. The upstream water level for the design discharge was lower than the other tested discharges. Changes in turbulent flow properties and shear velocity inside the barrel and downstream were also investigated in the presence of obstruction. Shear velocity increased 3 times in the presence of 80% blockage for 10.5 lit/s. and for the design discharge (27.5 lit/s) with 60% inlet blockage increased 2 times. The turbulence energy for the design discharge has also increased by about 5 times.

## 5. Six important references

1. Bayon, A., Valero, D., García-Bartual, R., and López-Jiménez, P. A. 2016. Performance assessment of OpenFOAM and FLOW-3D in the numerical modeling of a low Reynolds number hydraulic jump. Environmental modelling & software, 80, 322-335.
2. Ho, H. C. 2010. Investigation of unsteady and non-uniform flow and sediment transport characteristics at culvert sites.
3. Ho, H.C., Muste, M., and Ettema, R. 2013. Sediment self-cleaning multi-box culverts. Journal of Hydraulic Res. IAHR, 51(1), 92-101.
4. Holzinger, G. 2015. OpenFOAM a little user-manual. CD-Laboratory-Particulate Flow Modelling Johannes Kepler University, Linz, Austria.

5. Lubin, P., Chanson, H., and Glockner, S. 2010. Large eddy simulation of turbulence generated by a weak breaking tidal bore. *Environmental Fluid Mechanics*, 10(5), 587-602.
6. Shim, Jaeho, Jennifer Duan, and Hongki Jo. 2016. Simulating Sediment Transport around a Bridge Pier using OpenFOAM Software. *World Environmental and Water Resources Congress* 2016.

**Conflict of Interest**

Authors declared no conflict of interest.